

СЗУЧ.1Н
С-655

7

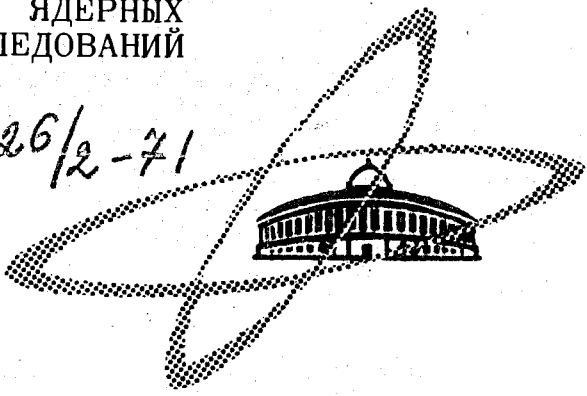
20/11-71

СООБЩЕНИЯ
ОБЪЕДИНЕННОГО
ИНСТИТУТА
ЯДЕРНЫХ
ИССЛЕДОВАНИЙ

Дубна

4226/2-71

P13 - 6078



ЛАБОРАТОРИЯ ЯДЕРНЫХ ПРОБЛЕМ

Л. М. Сороко

ПОМЕХОУСТОЙЧИВОСТЬ
МУЛЬТИПЛЕКСНЫХ СИСТЕМ
РЕГИСТРАЦИИ ЧАСТИЦ И МЕТОДЫ
ОСЛАБЛЕНИЯ
МУЛЬТИПЛИКАТИВНОЙ ПОМЕХИ

1971

P13 - 6078

Л. М. Сороко

ПОМЕХОУСТОЙЧИВОСТЬ
МУЛЬТИПЛЕКСНЫХ СИСТЕМ
РЕГИСТРАЦИИ ЧАСТИЦ И МЕТОДЫ
ОСЛАБЛЕНИЯ
МУЛЬТИПЛИКАТИВНОЙ ПОМЕХИ

Объединенный институт
ядерных исследований
БИБЛИОТЕКА

В предыдущих работах^{/1-4/} были рассмотрены мультиплексные системы регистрации частиц. Основное назначение этих систем сводится к тому, чтобы: а) ослабить эффект шумов счётчика^{/1/}, б) уменьшить равномерный фон в зале^{/2/}, наконец, в) погасить вклад многочастичных каналов при наблюдении бинарных реакций с помощью телескопа из двух мультиплексных сцинтилляционных счётчиков^{/4/}. В этих работах шла речь о различных сторонних возмущениях, которые воздействуют на систему регистрации частиц, затрудняя проведение достоверных измерений. Эти возмущения носят характер непредсказуемой случайной помехи.

Влияние помехи n на искомую функцию f , описывающую исследуемый процесс, в общем виде можно выразить оператором V , так что функция s , непосредственно измеряемая экспериментатором, равна

$$s = V(f, n). \quad (1)$$

Если V является оператором суммирования, то

$$s = f + n_a \quad (2)$$

и помеха n_a называется аддитивной. Мультиплексные системы регистрации частиц, представленные в работах^{/1,2,4/}, ослабляют аддитивную помеху.

Если же оператор V имеет вид

$$s = f \cdot n_m, \quad (3)$$

причём n_m всюду неотрицательно, то помеха n_m называется мультипликативной. Более общим случаем является одновременное воздействие аддитивной и мультипликативной помех. Тогда

$$s = f \cdot n_m + n_a . \quad (4)$$

Природа мультипликативной помехи n_m состоит в том, что параметры канала регистрации частиц подвержены случайным изменениям. Например, коэффициент усиления канала не есть постоянное число, или в канале имеются нелинейные искажения случайной природы, вызванные изменением нагрузок. Ниже будут рассмотрены мультипликативные помехи, которые носят чисто случайный, непредсказуемый характер.

В технике связи^{/5/} существуют различные методы борьбы с помехами. Отношение сигнала к шуму улучшается с помощью метода накопления сигнала, с помощью оптимального фильтра и некоторых других приемов. В ядерной физике был успешно применен метод резонансного накопления сигналов^{/6,7/}. Имеются методы, аналогичные методу накопления сигналов, которые позволяют ослабить мультипликативную помеху. Сущность этих методов состоит в том, чтобы вести наблюдения одновременно по нескольким каналам, мультипликативные помехи в которых не связаны взаимно.

Сигналы нескольких каналов используются по-разному. Можно их просто сложить. Это эквивалентно методу накопления в его классической форме. В реальных условиях физик-экспериментатор производит повторные измерения, усредняя результаты нескольких опытов и отбрасывая реализации с сильными выбросами. Последняя операция есть не что иное, как приписывание различным реализациям весовых коэффициентов. Здесь не обходится без интуиции экспериментатора, и, как правило, подобные приёмы невозможно выразить в виде универсальных алгоритмов.

Среди автоматических методов устранения мультипликативной помехи наиболее распространен метод автоматической регулировки усиления. Система автоматической регулировки усиления является корректором мультипликативной помехи. Идеальная система АРУ, действие которой описывается множителем

$$K = \frac{1}{n_m} , \quad (5)$$

где n_m - мультипликативная помеха, позволяет полностью избавиться от мультипликативной помехи. Между тем, кроме мультипликативной помехи, имеется аддитивная помеха (см. (4)). В этом случае исправленный сигнал на выходе

$$z = s \cdot k = \frac{s}{n_m} = f + \frac{n_a}{n_m} \quad (n_m \approx 1) \quad (6)$$

содержит фактически прежнюю аддитивную помеху. Таким образом, в отличие от методов накопления сигнала или наблюдения одновременно по нескольким каналам система автоматической регулировки усиления не меняет соотношения между сигналом и шумом. Можно показать, что наиболее мощным методом ослабления любых видов помех, как аддитивных, так и мультипликативных, является метод мультиплексной регистрации частиц. Что касается аддитивной помехи, то возможность ее ослабления в экспериментах по наблюдению редких распадов была продемонстрирована в предыдущих работах^{/1-4/}. В данной работе показывается, что мультиплексный метод регистрации частиц ослабляет одновременно мультипликативную помеху.

§2

Пусть f - искомая функция, подлежащая измерению, а n_m - мультипликативная помеха (3). В традиционных экспериментах коридор ошибок составляет 1-10%, и основной погрешностью измерения является, как правило, статистическая точность оценки потока частиц, попадающих в детектор. Однако в некоторых опытах приходится измерять малые вариации функции f , составляющие 10^{-3} - 10^{-7} от среднего эффекта^{/6,7/}. Здесь положение обратное. Определяющая ошибка эксперимента имеет совсем другую природу, например задается мультипликативной помехой, воздействие которой на экспериментальную установку состоит в том, что эффективность измерений неконтролируемо меняется в пределах, по порядку величины близких к искомому эффекту (10^{-3} - 10^{-7}).

Ниже будут рассмотрены два метода ослабления мультипликативной помехи с использованием мультиплексного метода регистрации частиц. Напомним, что сущность мультиплексного метода регистрации частиц заключается в следующем. Экспериментатор регистрирует не саму искомую

функцию $f(x)$, где x - текущий параметр, например угол вылета частицы, а ее кодово-интегральный образ

$$r(x) = f(x) \circledast g(x) \equiv \sum_{k=0}^{M-1} f(k) g(x-k), \quad (7)$$

равный дискретной свертке искомой функции $f(x)$ с функцией-ядром $g(x)$, где M - степень мультиплексности. О выборе подходящего значения M см. /3/.

Первый из рассматриваемых ниже методов состоит в том, что измерения ведут так, что по одному и тому же каналу регистрации частиц, либо по двум идентичным каналам, либо, наконец, по двум очень близким по параметрам каналам, попеременно стохастически переключаемым для приема сигналов, - производят два независимых измерения. Предметом наблюдения первого измерения является искомая функция $f(x)$, которая сканируется традиционным детектором. Эффективность регистрации всей системы равна n_m , и наблюдаемой величиной является

$$s_1(x) = f(x) \cdot n_m(x). \quad (8)$$

Второе измерение той же функции $f(x)$ ведут с помощью мультиплексного детектора, который захватывает весь исследуемый интервал свободного параметра x , например угол вылета частицы, и обладает тем же разрешением Δx , что и традиционный детектор. Предметом измерения второго опыта является функция

$$s_2(x) = [f(x) \circledast g(x)] \cdot n_m(x). \quad (9)$$

Оба измерения ведут одновременно. Предполагается, что помеха в них является одной и той же. Как будет видно из дальнейшего, эти эксперименты являются линейно независимыми, что позволяет по двум измеренным функциям, $s_1(x)$ и $s_2(x)$, найти как искомую функцию $f(x)$, так и мультипликативную помеху $n_m(x)$.

Рассмотрим случай, когда имеют место малые отклонения. Тогда искомую функцию можно записать в виде

$$f(x) = l(x) + \Delta f(x), \quad (10)$$

где

$$[\Delta f(x)]_{\text{средн.}} = 0, \quad |\Delta f(x)|_{\text{max}} \ll 1. \quad (11)$$

Аналогично

$$n_m(x) = 1(x) + \Delta n_m(x), \quad (12)$$

где

$$[\Delta n(x)]_{\text{средн.}} = 0, \quad |\Delta n(x)|_{\text{max}} \ll 1. \quad (13)$$

Тогда (8) и (9) можно записать в виде

$$s_1 = (1 + \Delta n)(1 + \Delta f) = 1 + \Delta f + \Delta n + \Delta f \cdot \Delta n, \quad (14)$$

$$s_2 = (1 + \Delta n)[(1 + \Delta f) \otimes g] = (1 + \Delta n)[1 + \Delta f \otimes g].$$

Поскольку Δf и Δn - малые величины, то их произведением в (14) можно полностью пренебречь, и тогда система уравнений (14) принимает вид

$$s_1 = 1 + \Delta n + \Delta f, \quad (15)$$

$$s_2 = 1 + \Delta n + \Delta f \otimes g.$$

Разность $s_2 - s_1$ определяется только искомым эффектом Δf , а именно:

$$s_2 - s_1 = \Delta f \otimes g - \Delta f. \quad (16)$$

Если далее первое уравнение в (15) подвергнуть операции свертки с функцией-ядром $g(x)$ и вычесть из него второе уравнение (15), то получим:

$$s_1 \otimes g - s_2 = \Delta n \otimes g - \Delta n. \quad (17)$$

Видно, что уравнения (16) и (17) имеют единую структуру. Запишем их в общем виде так:

$$y_i(x) \otimes g(x) - y_i(x) = h_i(x) \quad (i = 1, 2), \quad (18)$$

где $h_1 = s_2 - s_1$, $h_2 = s_1 \otimes g - s_2$ - заданные функции, $y_1 = \Delta f$ и $y_2 = \Delta n$ - искомые функции, а $g(x)$ - известное ядро. Уравнение (18) - это уравнение в дискретных свертках. Для того, чтобы его решить, подвергнем левую и правую части уравнения (18) дискретному преобразованию Фурье^{/3/}. Тогда получим:

$$Y_i(\omega) \cdot G(\omega) - Y_i(\omega) = H_i(\omega), \quad (19)$$

где, например, дискретный фурье-образ функции $h_i(x)$ равен, по определению,

$$H_i(\omega) = \sum_{x=0}^{M-1} h_i(x) e^{-i \frac{2\pi}{M} \omega x} \quad (i = 1, 2). \quad (20)$$

Переменные x и ω пробегает целочисленные значения

$$x = 0, 1, \dots, M-1; \quad \omega = 0, 1, \dots, M-1.$$

Уравнение (19) разрешимо относительно $Y_i(\omega)$:

$$Y(\omega) = \frac{H_i(\omega)}{G(\omega) - 1} \quad (i = 1, 2). \quad (21)$$

Вопрос о существовании решения уравнения (19) сводится к анализу нулей знаменателя выражения (21). Как показано в^{/3/}, фурье-образ ядра $g(x)$ имеет вид

$$G(\omega) = 1(\omega) + i/m G(\omega) = 1(\omega) + i\sqrt{M} [g(\omega) - \delta(\omega)]. \quad (22)$$

Поэтому

$$|G(\omega) - 1(\omega)|^2 = M[1(\omega) - \delta(\omega)], \quad (a)$$

$$|G(\omega)|^2 = (M + 1) - M \cdot \delta(\omega), \quad (b) \quad (23)$$

$$G + G^* = 2. \quad (c)$$

Последние соотношения (23) позволяют следующим образом преобразовать уравнение (21):

$$Y_i(\omega) = \frac{H_i(\omega)}{G(\omega) - 1} = H_i(\omega) \frac{G^*(\omega) - 1}{|G(\omega) - 1|^2} = \frac{H_i(\omega)}{M[1(\omega) - \delta(\omega)]} \cdot [G^*(\omega) - 1(\omega)] \quad (24) \\ (i = 1, 2)$$

Поскольку, по условию задачи (см. (11), (13)),

$$H_i(0) = M[\Delta h_i]_{\text{средн.}} = 0 \quad (i = 1, 2) \quad (25)$$

и поскольку решение уравнения (19) ищется с точностью до постоянного слагаемого, то уравнение (24) можно записать в виде

$$Y_i(\omega) = \frac{H_i(\omega)}{M} [G^*(\omega) - 1(\omega)] \quad (i = 1, 2). \quad (26)$$

Совершая обратное преобразование Фурье, находим окончательно:

$$y_i(x) = \frac{1}{M} [h_i(x) * g(x) - h_i(x)] \quad (i = 1, 2), \quad (27)$$

где символ * обозначает операцию корреляции

$$h_i(x) * g(x) = \sum_{\xi=0}^{M-1} h_i(\xi) g(x + \xi) \quad (i = 1, 2). \quad (28)$$

Различие между операцией свертки (7) и операцией корреляции (28) здесь имеет существенное значение. Важно подчеркнуть, что решение (27) имеет простой вид только благодаря особым свойствам функции ядра $g(x)$, которая описывает дискретную псевдослучайную последовательность. Как было отмечено в /3/, наиболее существенной характеристикой функции $g(x)$ является ее широкополосная частотная природа, благодаря чему информационные свойства функции $g(x)$ практически эквивалентны свойствам дельта-функции $\delta(x)$.

Так, например, соотношение (23с) в исходном координатном пространстве записывается в виде

$$f(x) \otimes g(x) + f(x) * g(x) = 2f(x), \quad (29)$$

где $f(x)$ - произвольная функция. Решения уравнений (16) и (17) запишем в явном виде:

$$\Delta f = \frac{1}{M} [(s_2 - s_1) * g - (s_2 - s_1)], \quad (30)$$

$$\Delta n = \frac{1}{M} [(s_i \otimes g - s_2) * g - (s_i \otimes g - s_2)] = s_i - 1 - \Delta f. \quad (31)$$

На рис. 1 приведен график случайной мультипликативной помехи Δn . На рис. 2 приведены: функция $s_1(x)$, непосредственно измеряемая традиционной системой наблюдения, и график искомой функции $\Delta f(x)$. На рис. 3 дан график функции $s_2(x) - 1 = \Delta f \otimes g + \Delta n$, измеряемой мультиплексной системой наблюдения, на рис. 4 - график функции $s_2 - s_1 = h_1 = \Delta f \otimes g - \Delta f$. Подвергнув функцию h_1 обработке согласно алгоритму (30), находим искомую функцию Δf . Аналогично, беря измеренные данные в виде функции $h_2(x)$, находят помеху Δn (17), (31).

83

Предположение о том, что мультипликативная помеха $n_m(x)$ является одной и той же в двух измерениях, (8) и (9), не всегда выполняется на практике. Для того, чтобы найти оптимальную логику наблюдения в условиях, когда помехи $n_m(x)$ в опытах (8) и (9) не равны друг другу, рассмотрим сначала предельный случай, реализуемый в условиях, когда помехи в опытах (8) и (9) полностью независимы друг от друга, но, как в стационарном случайном процессе, обладают равными дисперсиями. В этих условиях уравнения (15) принимают вид

$$\begin{aligned} s_1' &= 1 + \Delta n' + \Delta f, \\ s_2'' &= 1 + \Delta n'' + \Delta f \otimes g. \end{aligned} \quad (32)$$

Здесь $\Delta n'$ и $\Delta n''$ — две различные реализации помехи Δn . Если к уравнениям (32) применить алгоритм решения (32), то получим:

$$\frac{1}{M} [(s_2'' - s_1') * g - (s_2'' - s_1')] = \Delta f + \frac{1}{M} [\Delta^2 n * g - \Delta^2 n], \quad (33)$$

где

$$\Delta^2 n = \Delta n'' - \Delta n'. \quad (34)$$

Видно, что искомую функцию Δf точно восстановить нельзя. Вместо этого данные опыта устанавливают только коридор ошибок, внутри которого лежит функция Δf . Определим ширину этого коридора, для чего дисперсию функции $\Delta^2 n$ запишем в виде

$$\sigma_{\Delta^2}^2 = \sigma_{\Delta'}^2 + \sigma_{\Delta''}^2 - 2C_{\Delta'\Delta''}. \quad (35)$$

Здесь $\sigma_{\Delta'}$ и $\sigma_{\Delta''}$ — дисперсии функций $\Delta n'$ и $\Delta n''$, которые по условию равны между собой ($\sigma_{\Delta'} = \sigma_{\Delta''}$), а $C_{\Delta'\Delta''}$ — величина, имеющая смысл перекрестной дисперсии функций $\Delta n'$ и $\Delta n''$ или кросс-корреляции и обусловленная недиагональными элементами матрицы ошибок.

Если мультипликативные помехи в опытах (8) и (9) равны друг другу и $\Delta n' = \Delta n''$, то $C_{\Delta'\Delta''} = \sigma_{\Delta'} \sigma_{\Delta''}$, а $\sigma_{\Delta^2}^2 = 0$. Ширина коридора ошибок равна нулю.

Если же помехи $\Delta n'$ и $\Delta n''$ представляют собой независимые реализации случайного процесса Δn , то $C_{\Delta'\Delta''} = 0$ и $\sigma_{\Delta^2}^2 = \sqrt{2} \cdot \sigma_{\Delta'}$. Наконец, в общем случае соотношение (35) можно записать в виде

$$\sigma_{\Delta^2}^2 = \sigma_{\Delta'}^2 + \sigma_{\Delta''}^2 - 2\sigma_{\Delta'} \sigma_{\Delta''} (1-a). \quad (36)$$

Коэффициент a характеризует степень независимости между реализациями $\Delta n'$ и $\Delta n''$. Значение $a = 0$ соответствует тождественному равенству

помех $\Delta n'$ и $\Delta n''$. Когда $\alpha = 1$, то помехи $\Delta n'$ и $\Delta n''$ полностью независимы. Соотношение (36) в случае равенства дисперсий запишется в виде

$$\sigma_{\Delta}^2 = 2\alpha \cdot \sigma_{\Delta n}^2, \quad (37)$$

или окончательно:

$$\sigma_{\Delta f}^2(k) = \frac{2\alpha}{M} \sigma_{\Delta n}^2. \quad (38)$$

Рассмотрим измерения, которые произведены чисто мультиплексной системой. Предметом наблюдения является функция

$$s_2 = 1 + \Delta n + \Delta f \otimes g. \quad (39)$$

Если к функции s_2 применить обычный алгоритм обработки, которой подвергаются промежуточные данные, измеряемые мультиплексной системой^{3/}, то получим

$$(s_2 - 1) * g = (M + 1) \Delta f + \Delta n * g. \quad (40)$$

Откуда

$$\Delta f = \frac{1}{M + 1} [(s_2 - 1) * g - \Delta n * g]. \quad (41)$$

Коридор ошибок, в котором лежит функция Δf , в этом случае определяется дисперсией

$$\sigma_{\Delta f}^2(M) = \frac{\sigma_{\Delta n}^2}{(M + 1)}. \quad (42)$$

Видно, что коридоры ошибок обычного мультиплексного метода (42) и комбинированного метода (38) с использованием как традиционной системы наблюдения, так и мультиплексной системы, существенно отличаются друг от друга. Отношение дисперсий этих двух методов равно

$$\kappa = \frac{\sigma_{\Delta f}^2 \text{ комб.}}{\sigma_{\Delta f}^2 \text{ мульт.}} = 2\alpha \frac{M + 1}{M}. \quad (43)$$

Если $\frac{M}{2(M+1)} < a < 1$, то преимущество имеет чисто мультиплексная система. Если же $0 < a < \frac{M}{2(M+1)}$, то предпочтение следует отдать комбинированному методу. Напомним, что чем меньше a , тем сильнее корреляции между помехами $\Delta n'$ и $\Delta n''$.

Случай $a = 1$ был промоделирован. На рис. 5 приведен окончательный результат измерений чисто мультиплексной системой. Дисперсия равна $\sigma(M) = 8.9 \cdot 10^{-3}$. На рис. 6 дан результат измерений комбинированной системой. Дисперсия $\sigma(k) = 12.2 \cdot 10^{-3}$. Видно, что ширина коридора ошибок в чисто мультиплексной системе в 1,38 раза меньше, чем в комбинированной системе. Из (43) следует, что ожидаемое отношение ширины коридоров ошибок равно $k_{\text{теор.}} = 1.45$.

На рис. 7 показан эффект ослабления мультиплексной помехи. Кривая 1 - исходная помеха $\Delta n(x)$. Кривая 2 - ослабленная помеха.

Дисперсия, определяющая ширину коридора ошибок, уменьшается с $13.4 \cdot 10^{-3}$ до $3 \cdot 10^{-3}$, т.е. в 4,48 раза. Функция Δf на этом рисунке принята равной нулю. На рис. 8 показан пример ослабления помехи $n(x)$, имеющей детерминистский характер, когда эффективность регистрации линейно спадает во времени. Кривая 1 - исходная помеха $n(x)$. Кривая 2 - ослабленная помеха. Коридор ошибок уменьшился в 4,43 раза. Для случайного процесса ожидаемый коэффициент уменьшения ошибок равен $4,47 = \sqrt{20}$.

Приведенные моделирующие расчёты наглядно демонстрируют потенциальные возможности методов ослабления мультипликативных помех с использованием мультиплексных систем регистрации частиц. Указан параметр, который позволяет сделать выбор оптимального метода регистрации.

В заключение автор выражает благодарность Т.А. Стриж за помощь в работе.

Литература

1. Л.М. Сороко. Сцинтилляционный счетчик с использованием преобразования Адамара. Сообщение ОИЯИ, Р13-5896, Дубна, 1971.
2. Л.М. Сороко. Мультиплексная мишень. Сообщение ОИЯИ, Р13-5699, Дубна, 1971.
3. Л.М. Сороко. Псевдошумовые последовательности и применение их для мультиплексных систем регистрации частиц. Сообщение ОИЯИ, Р13-5722, Дубна, 1971.
4. Л.М. Сороко. Информационные свойства телескопа из мультиплексных сцинтилляционных счетчиков частиц. Сообщение ОИЯИ, Р13-5896, Дубна, 1971.
5. А.А. Харкевич. Борьба с помехами. Наука, М., 1965.
6. В.М. Лобашов и др. Письма в ЖЭТФ, 3, 76 (1966); 3, 268 (1966); 5, 73 (1967).
7. В.М. Лобашов. ЯФ, 2, 957 (1965).

Рукопись поступила в издательский отдел
12 октября 1971 года.

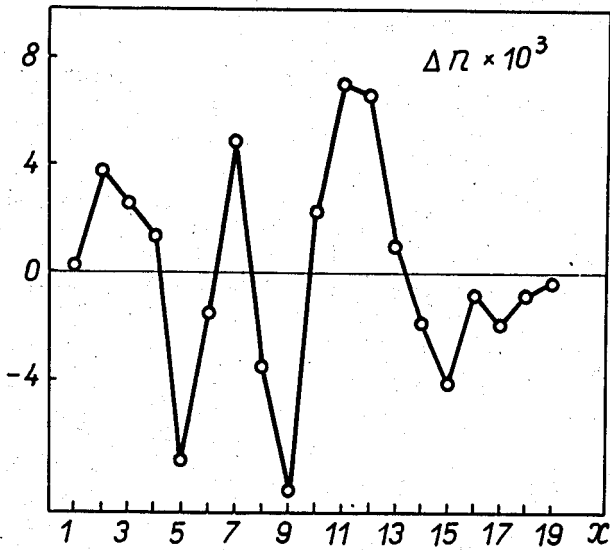


Рис. 1. График случайной мультипликативной помехи $\Delta \pi(x)$, которая воздействует на измерительную аппаратуру.

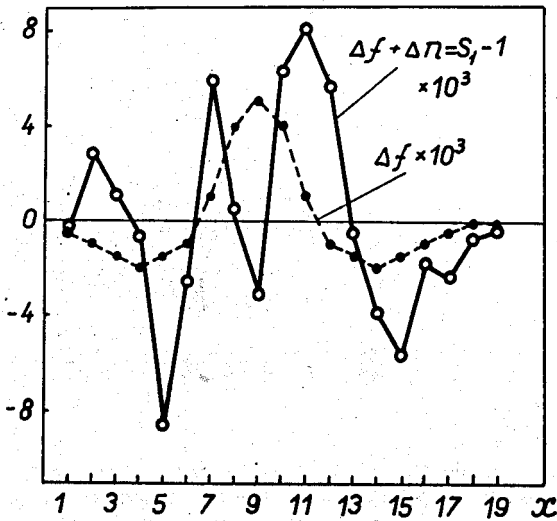


Рис. 2. Графики величины $s_I(x)$, измеряемой обычной системой наблюдения, и искомой функции $\Delta f(x)$.

Рис. 3. Графики величины $s_2(x)$, измеряемой мультимплексной системой наблюдения, и искомой функции $\Delta f(x)$.

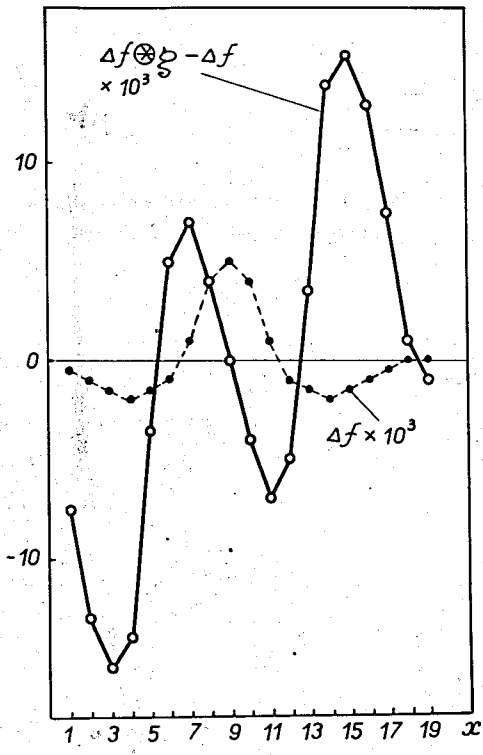
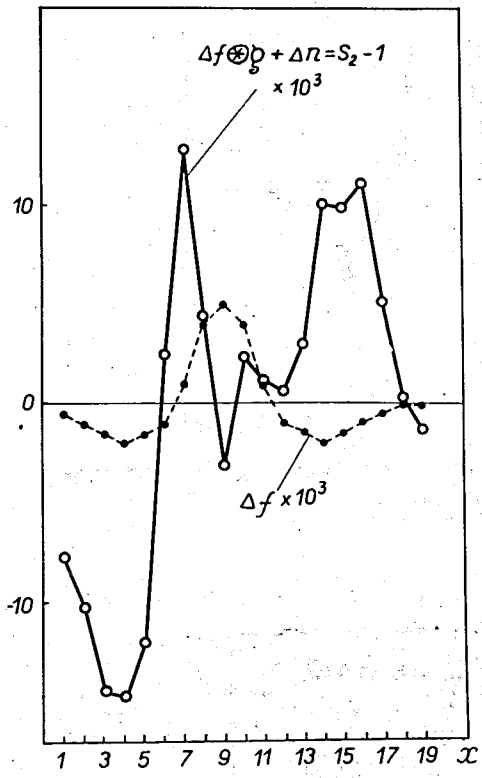


Рис. 4. График функции $h_1(x) = s_2(x) - s_1(x)$, полученной совместными измерениями комплексной системой, которая состоит из обычной системы наблюдения ($s_1(x)$) и мультимплексной системы наблюдения ($s_2(x)$). Пунктиром показана искомая функция $\Delta f(x)$.

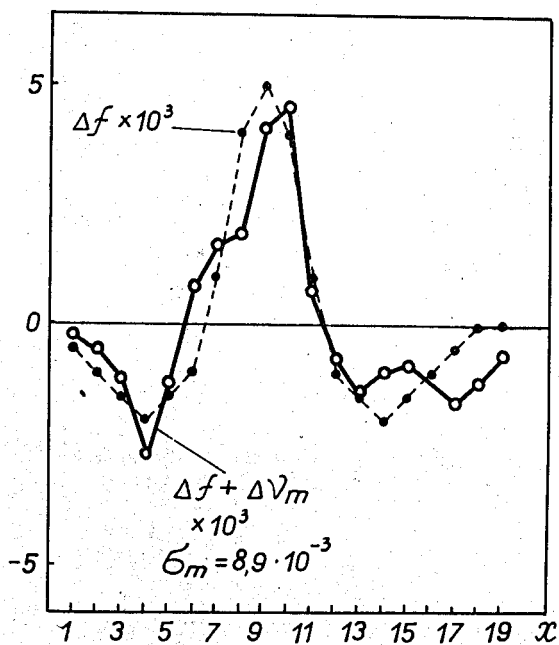


Рис. 5. Окончательный результат измерений, $\Delta f + \Delta \nu_m$, полученный с помощью чисто мультиплексной системы. Пунктир - искомая функция $\Delta f(x)$. Дисперсия равна $\sigma(M) = 8,9 \cdot 10^{-3}$.

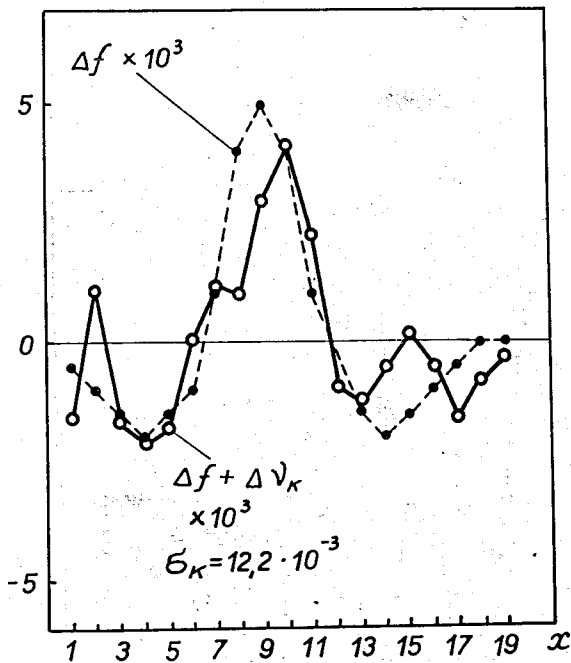


Рис. 6. Окончательный результат измерений, $\Delta f + \Delta \nu_k$, полученный с помощью комбинированной системы наблюдения. Пунктир - искомая функция $\Delta f(x)$. Дисперсия равна $\sigma(k) = 12,2 \cdot 10^{-3}$. Обе реализации мультипликативной помехи являются взаимно некоррелированными ($\alpha = 1$). Чисто мультипликативная система наблюдения обладает преимуществом над комбинированной системой, если $\frac{M}{2(M+1)} < \alpha < 1$. В противном случае, если $0 < \alpha < \frac{M}{2(M+1)}$, комбинированная система наблюдения дает более узкий коридор ошибок.

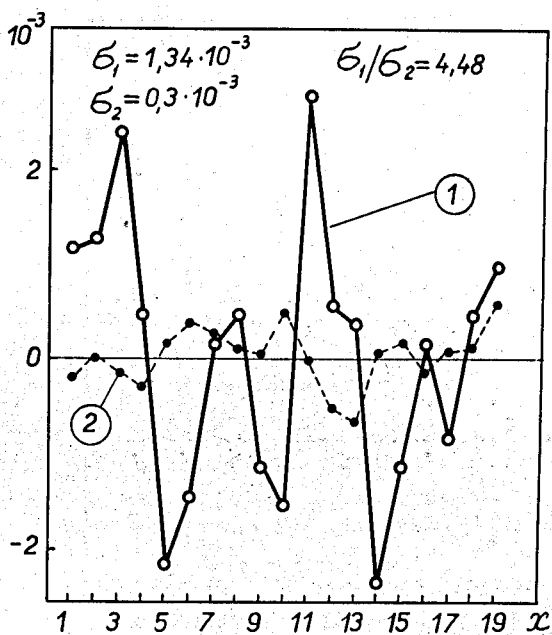


Рис. 7. Эффект ослабления случайной мультипликативной помехи для частного случая $\Delta f(x) = 0$. Кривая 1 - исходная помеха $\Delta n(x)$. Кривая 2 - ослабленная помеха. Отношение $\sigma_{исх.} / \sigma_{ослаб.} = 4,48$ вместо $\sqrt{20} = 4,47$.

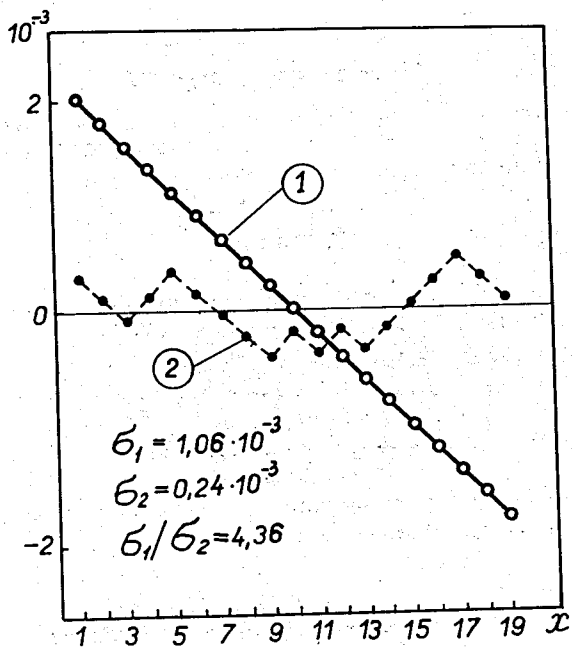


Рис. 8. Эффект ослабления мультипликативной помехи детерминистского характера. Кривая 1 - исходная помеха $\Delta n(x)$. Кривая 2 - ослабленная помеха. Отношение $\sigma_{исх.} / \sigma_{ослаб.} = 4,36$, вместо $\sqrt{M} = \sqrt{20} = 4,47$.